

شبیه‌سازی عددی میدان سرعت در لایه برشی دو بعدی با تحریک اجباری به روش المان گردابه‌ای

قاسم حیدری نژاد^{۱*}، نیما غیاثی طبری^۲، پژمان امینی^۳

۱- دانشیار مهندسی مکانیک، دانشکده فنی و مهندسی، دانشگاه تربیت مدرس

۲- دانشجوی دکترا مهندسی مکانیک، دانشکده فنی و مهندسی، دانشگاه تربیت مدرس

۳- کارشناس ارشد هوافضا، دانشکده فنی و مهندسی، دانشگاه تربیت مدرس

*تهران، صندوق پستی ۱۴۱۱۵-۱۴۳

heidarinejad@bhrc.ir

(دریافت مقاله: اسفند ۱۳۸۵، پذیرش مقاله: اردیبهشت ۱۳۸۷)

چکیده- در این تحقیق روش لاگرانژی و بدون شبکه المان گردابه‌ای برای شبیه‌سازی جریان در لایه برشی با تحریک اجباری به کار گرفته شده است. رشد زمانی ناپایداری در لایه برشی و سپس تشکیل گردابه‌ها به خوبی با این روش پیش‌بینی شده است. همچنین چگونگی رشد گردابه‌ها و فرایند جفت شدن و تأثیر متقابل آنها بر یکدیگر مطالعه شده است. در لایه برشی بدون تحریک رشد گردابه‌ها به صورت خطی و مطابق با بزرگترین فرکانس ناپایداری انجام می‌شود در حالی که با اعمال تحریک خارجی، مدها و فرکانس‌های ناپایداری مختلفی در رشد و دفع گردابه‌ها تأثیر گذار هستند که مهمترین آنها، فرکانس اجباری تحریک است و رشد ناپایداریها دیگر به هیچ وجه خطی نیست. نتایج نشان می‌دهد که افزایش نسبت سرعت، باعث تسریع ناپایداری می‌شود؛ وجود فرکانس اجباری و تحمل آن به لایه برشی، از رشد بی‌سازمان لایه جلوگیری کرده و رشد خطی اغتشاشات در لایه برشی کمتر دیده می‌شود. نتایج برای طول دامنه‌های مختلف، به دست آمده و با نتایج آزمایشگاهی مقایسه شده است.

کلید واژگان: جریان آشفته، روش المان گردابه‌ای، لایه برشی با تحریک اجباری، ناپایداری.

شبکه‌بندی فضای جریان، منفصل کردن معادلات در فضای منحنی الخط غیر متعامد و تحلیل جریان در حالت‌های مغشوش می‌باشند که همواره حل عددی را با مشکل روبرو می‌سازد. یکی از روش‌های بسیار کارامدی که تا حدود زیادی مشکلات فوق را از میان برداشته است، روش المان گردابه‌ای است [۱]. روش گردابه‌ای

۱- مقدمه

روشهای عددی در حل مسائل - با تمام مزایایی که دارند- این عیب را دارند که جوابهای بدست آمده - به دلیل وجود خطاهای عددی گوناگون - دقیق و قطعی نیستند. همچنین روشهای عددی دارای پیچیدگی‌ها و مشکلات مختلفی نظیر تعریف هندسه‌های مختلف،

در این تحقیق نیز قصد داریم با اعمال تحریک در ابتدای جریان لایه برشی، ناپایداری ذاتی جریان را زودتر آشکار کرده و نحوه رشد ناپایداری را که متفاوت از حالت غیر اجباری است، مطالعه کنیم. تشکیل ساختارهای آشفته در فرکانس‌های خاصی که منطبق بر فرکانس طبیعی دفع گردابه‌ها باشند، به طور منظم شکل می‌گیرد و جفت شدن آنها منظم‌تر می‌شود. همچنین در روش حل عددی به علت طبیعت لاگرانژی مدل و نبود شبکه‌بندی در هندسه، مشکل نفوذ عددی به حداقل می‌رسد و این خطای خودبه‌خود از سیستم حل حذف می‌شود. برای حل جریانهای آشفته، به استفاده از مدل توربولانس نیاز نیست.

۲- معادلات حاکم

معادلات حاکم بر سیستم همان معادلات اساسی است که به شکل ورتیسیتی و بی بعد شده بیان شده‌اند:

$$\frac{\partial \omega}{\partial t} + \mathbf{u} \cdot \nabla \omega = \frac{1}{Re} \nabla^2 \omega \quad (1)$$

$$\nabla \cdot \mathbf{u} = 0 \quad (2)$$

$$\omega(\mathbf{x}, t) = \nabla \times \mathbf{u} \quad (3)$$

$$\mathbf{u} \cdot \mathbf{n} = 0 \quad (4)$$

$$\mathbf{u}(\mathbf{x}, t=0) = \mathbf{u}_0(\mathbf{x}) \quad (5)$$

معادله (1) برای حل در هر گام زمانی به دو بخش تقسیم می‌شود. ابتدا انتقال چرخش توسط معادله اولر صورت می‌گیرد و سپس اثر نفوذ، با افزایش شعاع هسته^۱ شبیه‌سازی می‌شود. سرعتهای چرخشی مربوط به هر المان، از رابطه بیوساوار به دست می‌آید. در هر لحظه زمانی، نرخ ورتیسیتی تولید شده توسط المانهای جدیدی

برای اولین بار توسط رزنهد در سال ۱۹۳۰ برای تحلیل ناپایداری کلوین- هلمهلتز به کار رفت. این روش تا اوایل دهه ۱۹۷۰ پیشرفت چشمگیری نداشت تا اینکه در سال ۱۹۷۳ روش گردابه تصادفی توسط چورین [۲] بیان شد. وی با انجام تحقیقات مختلف در این مورد توانست در سال ۱۹۷۸ جریان لایه مرزی را بر روی صفحه تخت شبیه‌سازی کند [۳].

روش گردابه روشی تقریبی برای شبیه‌سازی جریانهای گذراي تراكم ناپايدزير با عدد رینولدز بالا يا متوسط در هندسه نامحدود يا هندسه محدود به دیوار است. در این روش معادلات حاکم به شکل ورتیسیتی نوشته می‌شوند؛ همچنین میدان چرخشی توسط تعدادی گردابه مدل‌سازی شود. میدان ورتیسیتی، نوعی میدان به هم فشرده بوده و المان‌ها دارای همپوشانی هستند. با انتخاب شعاع مناسب هسته برای هر المان - که بزرگ‌تر از فاصله جدایی بین المانهای همسایه است - المانهای دارای همپوشانی در صفحات مشترک می‌شوند و جداسازی مرتبه بالاتر میدان ورتیسیتی انجام می‌شود.

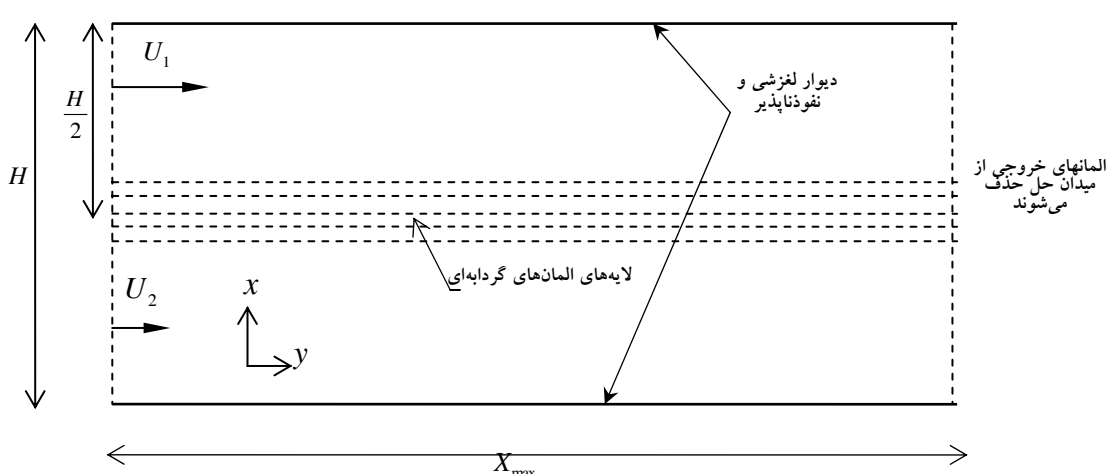
مطالعه جریان در لایه برشی - که از جنبه‌های مختلف اختلاط و احتراق مهم است - اولین بار در سال ۱۹۸۷ توسط حیدری‌نژاد و قونیم انجام شد [۴]. آنها سازوکار جفت شدن گردابه‌ها، رشد لایه برشی و رشد ناپایداری را مطالعه کردند. وارد شدن توده سیال غیرچرخشی از خارج لایه به داخل ساختارهای گردابه‌ای و انشاست انرژی درون این ساختارها در لایه برشی غیر اجباری توسط ان-جی [۵] در سال ۱۹۸۸ مطالعه شد. مطالعه رشد خطی ناپایداری‌ها در لایه برشی و ساختارهای متشابه تکرار شونده^۲ در لایه برشی و همچنین تحلیل طیفی فرکانسی نیز همزمان توسط قونیم انجام شد [۶].

همچنین باید در نظر داشت که شرط عدم لغزش برای حل رعایت نشده و روی سطح جامد در بالا و پایین مرز سرعت مماسی، مقداری غیر صفر دارد. لذا بر روی مرز، لایه مرزی تشکیل نخواهد شد. اما اگر المانی به خارج از این ناحیه انتقال یابد، حتماً به داخل میدان حل، تصویر خواهد شد. همچنین در هندسه‌های دوبعدی، از آنجا که جمله کشیدگی وجود ندارد، لذا این جمله به طور کلی از معادلات حذف شده است. تنها شرط مرزی که باید ارضاع شود، شرط شار عمودی صفر است که با معادله (۴) در روی مرز بیان شده است. برای اراضی این شرط مرزی از تبدیل شوارتر کریستفل استفاده شده است [۸]. بر طبق این تبدیل هندسه حل به صفحه بالایی نگاشته می‌شود که در آن دو منبع چشم به جای دو سرعت U_1 و U_2 پدیدار می‌شود؛ سپس برای اراضی سرعت عمودی صفر بر روی مرز، از روش تصویر کردن المانها استفاده می‌شود (شکل ۲).

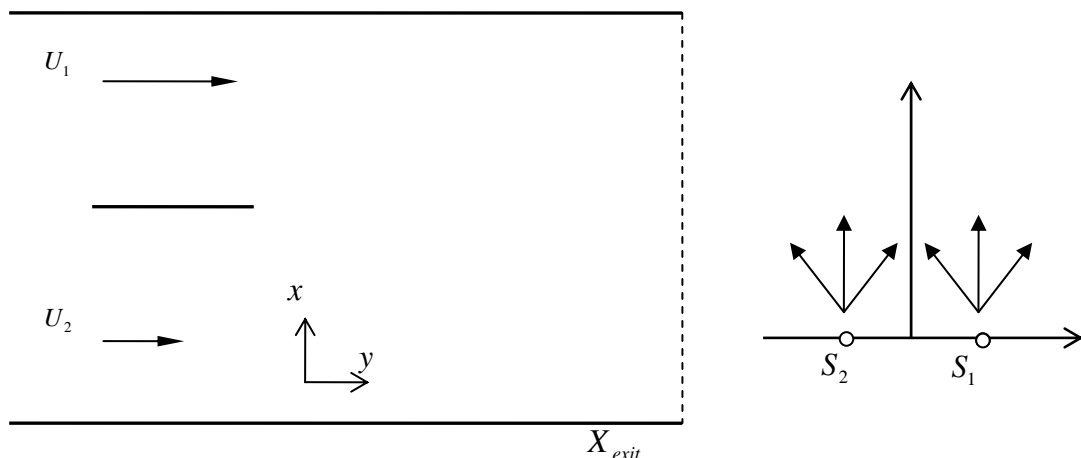
که به میدان حل وارد می‌شوند، با رابطه $\frac{d\Gamma}{dt} = \Delta u \cdot U_M$ تعیین می‌شود. در این رابطه U_M سرعت متوسط است.

۳- هندسه مسئله، شرایط اولیه و شرایط مرزی

هندسه مسئله از دو صفحه موازی تشکیل شده که فاصله بین آنها H است به طوری که جريان با سرعت بیشتر در بالا و جريان با سرعت کمتر در پایین قرار دارد (شکل ۱). پروفیل سرعت اولیه به صورت تابع خطأ^۱ است که از حل تحلیلی تقریبی جريان در لایه‌برشی به دست می‌آید [۷]. توزیع ورتیسیتی اولیه در سرتاسر لایه برشی با سرعتهای جريان آزاد U_1 و U_2 نیز با تابع گوسی مرتبه دوم نشان داده شده است. برای محدود کردن محاسبات، المانهای محاسباتی در هر موضع مشخص X_{\max} حذف می‌شوند؛ بدون اینکه این اثر حذف شدن در شرط مرزی تأثیر بگذارد.



شکل ۱ هندسه دامنه محاسباتی و برخی شرایط مرزی

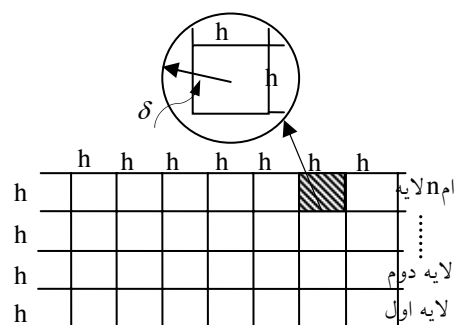


شکل ۲ شکل سمت چپ صفحه فیزیکی و شکل سمت راست صفحه محاسباتی را نشان می‌دهد

روشهای گردابه‌ای سازگار است. در محاسبات، برای حفظ دقت روشهای لاغرانژی از روش وارد کردن المان جدید استفاده شده است. این روش بر درونیابی قدرت دو المان اصلی که به طور یکسان در میان سه المان قرار دارند، مبتنی است و فرض شده کشیدگی یکنواخت بین دو المان اصلی وجود دارد. برای تقسیم کردن نیز، جفت المانهایی را که فاصله بین مرکز آنها از حد آستانه‌ای بیشتر باشد، به سه المان تقسیم می‌کنند به‌طوری‌که بقای چرخش برقرار بماند.

در محاسبات لایه برشی مکانی، توزیع ورتیسیتی بیان شده به صورت لایه برشی بدون اغتشاش برای المانهایی که به تازگی از پایین دست صفحه جدا شده وارد شده‌اند، به کار می‌رود. ابتدا حداقل تعداد لایه‌های مورد نیاز برای برقراری دقت اولیه در نظر گرفته می‌شود، سپس میدان ورتیسیتی روی شبکه مربعی محاسبه می‌شود (شکل ۳). در طی هر گام زمانی، هر لایه به بیرون از مقطع قبلی جایه‌جا می‌شود و با سرعت متوسط جریان در جهت میدان جریان حرکت می‌کند. در این حال فاصله‌ای بین انتهای لایه و مقطع ورودی به وجود می‌آید که باید با المانهای جدیدی

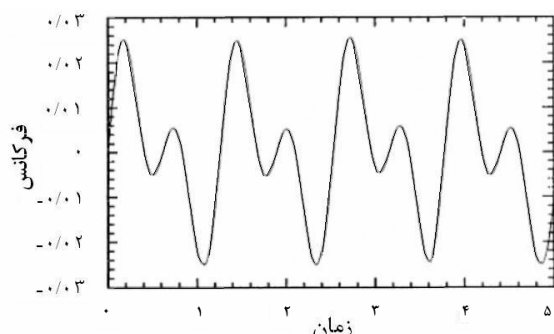
برای حاکم کردن شرایط اولیه دقیق، همپوشانی مناسب بین المانهای گردابه همسایه باید وجود داشته باشد؛ یعنی δ باید بزرگتر از h باشد (شکل ۳).

شکل ۳ طرحواره همپوشانی و شبکه‌بندی اولیه‌ای که برای گستره‌سازی ورتیسیتی در زمان $t=0$ به کار می‌رود.

آزمایش‌های عددی نشان می‌دهد که اگر همپوشانی مناسبی وجود نداشته باشد، δ/h کمتر از یک شده و از دقت روش کاسته می‌شود. بنابراین داشتن همپوشانی مناسب بین المانهای همسایه برای گستره‌سازی دقیق میدان ورتیسیتی اولیه لازم بوده و این با فرضیه همگرایی

چگالی واحد محاسبه شده است. در این محاسبات طول دامنه برابر $X_{\max} = 6$ و $X_{\min} = 5$ به منظور محدود کردن با محاسباتی انتخاب شده است.

در شکل (۴) نمونه‌ای تابع تحریک برای ناپایدار کردن جریان و ایجاد اغتشاش اجباری در ساختار لایه برشی بر حسب زمان ترسیم شده است [۹]. این تابع به صورت $f_s = f_f \sin(2\pi f_f t) + A_s \sin(2\pi f_s t)$ با $f(t) = A_f \sin(2\pi f_f t) + A_s \sin(2\pi f_s t)$ تعریف می‌شود و برهمناسنگی گردابه‌ها را پیشتر می‌اندازد که در آن f_f فرکانس اصلی تحریک، f_s فرکانس هارمونیک فرعی و A_s و A_f به ترتیب دامنه‌های مربوط است.



شکل ۴ تابع تحریکی که لایه برشی با آن نوسانی می‌شود [۹]

با استفاده از این تابع تحریک، لایه برشی در فرکانس‌های نزدیک به بیشترین مد ناپایداری دچار اغتشاش می‌شود و اولین لایه ورتیسیتی ورودی به میدان حل مطابق $\Delta y = \epsilon_f \sin(2\pi U_M t / \lambda^*) + \epsilon_s \sin(2\pi U_M t / \lambda^*)$ به نوسان درمی‌آید. Δy جایه‌جایی مرکز هر المان گردابه‌ای بر اثر تحریک اجباری است. t زمان و ϵ_f و ϵ_s به ترتیب دامنه‌های اصلی و هارمونیک فرعی هستند. λ^* طول موج بیشترین مد ناپایداری است. تحت اثر این تحریک در ابتدای صفحه جداکننده، لایه‌های ورتیسیتی به میدان جریان وارد

پر شود. با توجه به این شکاف به تعداد لازم المان برای ارضای بقای ورتیسیتی داخل می‌شوند. در شبیه‌سازی‌ها، گسترش‌سازی برای لایه برشی در ۵ تا ۷ لایه انجام شده و لایه برشی در جهت جریان رشد می‌کند. تعداد کل المانهایی که در هر مرحله به کار می‌رود معمولاً کمتر از ۱۰۰۰۰ است.

۴- نتایج و بحث

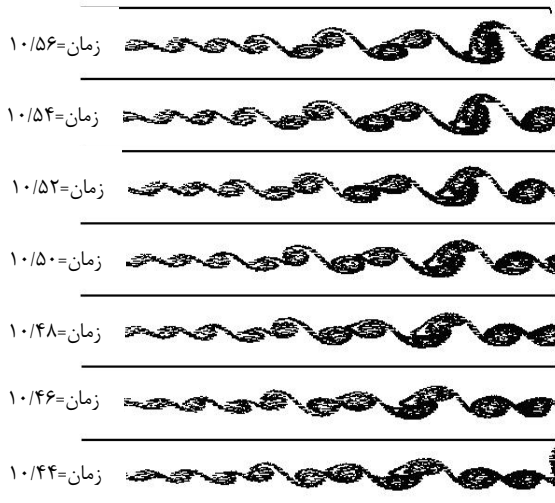
لایه برشی مغذوش، نوعی ناپیوستگی یکنواخت را بین دو جریان موازی با ویژگیهای متفاوت نشان می‌دهد که این دو جریان از انتهای یک صفحه جداکننده^۱ وارد می‌شوند و با هم درمی‌آمیزند. در دو طرف صفحه جداکننده دو لایه مرزی ایجاد می‌شود که حاصل از شرط عدم لغزش دو جریان بر روی آنها است. لایه اختلاط ناحیه‌ای است که به صورت دنباله از یکی شدن دو لایه مرزی به دست می‌آید و به صورت توزیع سرعت یکنواخت گسترش می‌یابد. طبیعت ناپایدار لایه برشی، به دلیل ناپایداری کلوین - هلمهولتز، سازوکاری را برای رشد اغتشاشات کوچک و تشکیل ساختارهای بزرگ مقیاس به دست می‌دهد. معمولاً این ساختارها با سرعت متوسط جریان U_M به سمت پایین دست حرکت می‌کنند و همچنین توسط سازوکارهای مختلف ناپایداری - مانند فرکانس‌های مرتبط با هارمونیک فرعی - هر دو و گاهی هر سه ساختارهای همسایه به صورت جفت درمی‌آیند و ساختارهای بزرگ شکل می‌گیرند و این کار به طور متناوب در جریان ادامه پیدا می‌کند.

در این تحقیق، پویایی‌های لایه اختلاط تحت اثر تحریک اجباری مورد مطالعه قرار گرفته و تکامل لایه‌های ورتیسیتی با نسبت سرعتهای $R = 2$ و $R = 3$ و نسبت

2. Fundamental frequency
3. Sub-harmonic frequency

1. Splitter

این سه نوع گردابه را با توجه به نوع ناپایداری که شکل گرفته است، به گردابه‌های اصلی، گردابه‌های هارمونیک فرعی اول و گردابه‌های هارمونیک دوم تقسیم می‌کنند. دامنه اختشاش موجب شده است که نتوان رشد ناحیه خطی و رشد ناحیه غیرخطی را به آسانی از یکدیگر تشخیص داد. واضح است که گردابه‌های بزرگ در فرکانس تحریک اجباری تبدیل می‌شوند. با توجه به شکل گیری لایه‌ها، فرایند جفت شدن در فاصله‌های دورتری در پایین دست اتفاق می‌افتد.



شکل ۵ بردارهای سرعت و موقعیت لحظه‌ای المان‌های گردابه‌ای برای لایه‌برشی با تحریک اجباری برای $\omega_f = 0$ ، $R = 1.5$ ، $\lambda^* = \lambda^*$ ، نسبت سرعت $\beta = 3$ و تعداد ۵ لایه با طول دامنه محاسباتی ۶ در زمانهای مختلف

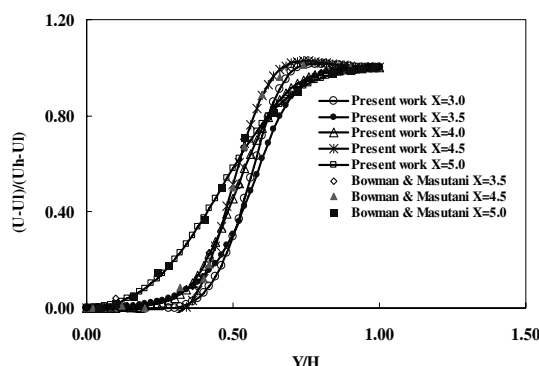
بنابراین وقتی این دامنه کوچک تحریک اجباری از افزایش نرخ دامنه اختشاش ناتوان است، فرایند تبدیل گردابه‌ها را شکل و سازمان می‌دهد و رشد اختشاشات هارمونیک فرعی را به تأخیر می‌اندازد. فرایند جفت شدن پس از حذف اثر این تحریک آغاز می‌شود.

می‌شوند. انتظار می‌رود که تحت اثر شرایط نیرویی، رشد و گسترش لایه برشی سازمان یافته‌تر باشد.

در شکل (۵) ساختار لایه‌ها برای $\omega_f = 0$ ، $R = 1.5$ ، $\lambda^* = \lambda^*$ ، نسبت سرعت $\beta = 3$ و تعداد ۵ لایه با طول دامنه محاسباتی ۶ ترسیم شده است منحنی‌ها به طور بسیار واضح و دقیق فرایند سوار شدن لایه‌های ورتیسیتی بر روی یکدیگر و همچنین جفت شدن گردابه‌ها را نشان می‌دهند. با توجه به این شکل‌ها با رشد لایه برشی ساختارهای بزرگ گردابه‌ای شکل می‌گیرند. این گردابه‌ها به طرف پایین دست حرکت کرده و با جفت شدن، بر یکدیگر تاثیر می‌گذارند. در طی فرایند سوار شدن لایه‌های ورتیسیتی بر روی یکدیگر، لایه‌ها به سمت مرکز گردابه‌ای بزرگ جذب می‌شوند. در فرایند سوار شدن لایه‌ها بر روی یکدیگر، سیال از هر دو طرف داخل شده و آنچه در شکل مشاهده می‌شود، شکل می‌گیرد. از دید ناظر مرجع که با گردابه بزرگ حرکت می‌کند، نقطه مرکزی شکل مارپیچ پیدا می‌کند. بین گردابه‌های بزرگ همسایه، نوعی ناحیه کشیدگی قوی گسترش می‌یابد که از ورتیسیتی تهی است. این ناحیه قیطانی را می‌توان به صورت حرکت موضعی نقطه‌ای زینی در نظر گرفت. در میدان سیال جدایشی بین دو جریان رخ می‌دهد که یکی به سمت چپ و دیگری به سمت راست با توجه به نقطه زینی حرکت می‌کنند. در پایین دست، فرایند روی هم سوار شدن لایه‌ها ادامه می‌یابد؛ تا وقتی که یک اختشاش قوی، دو گردابه همسایه را وادار می‌سازد تا بصورت یک جفت گردابه در بیانند در مجموع در تمامی نمودارها تقریباً سه نوع گردابه در پنجره محاسباتی مشاهده می‌شود:

- گردابه‌هایی که به دلیل روی هم سوار شدن لایه ورتیسیتی شکل گرفته‌اند.
- گردابه‌هایی که به علت جفت شدن دو گردابه به وجود آمده‌اند.
- گردابه‌هایی که ناشی از جفت شدن دو جفت گردابه هستند.

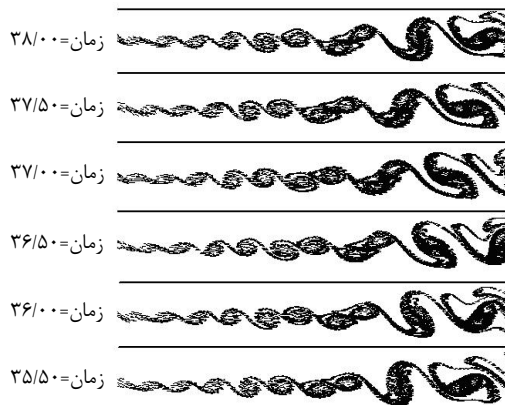
پروفیل‌های سرعت متوسط جریان در ۵ مقطع مختلف در شکل (۷) نشان داده شده و با نتایج آزمایشگاهی [۱۰] که با نمادها مشخص شده، مطابقت دارند. با توجه به شکل سرعت متوسط شده جریان به توزیع سرعت اولیه که به صورت تابع خطاب بود، شباهت دارد و هرچه به سمت پایین دست می‌رویم، شبیب نمودار کمتر می‌شود که دلیل آن، پدیده نفوذ ملکولی لایه‌ها در یکدیگر است.



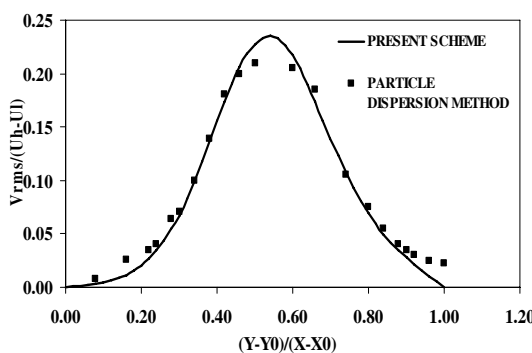
شکل ۷ پروفیل‌های سرعت متوسط جریان در مقاطع $X=3/5$ ، $X=4/5$ ، $X=4/0$ ، $X=5/0$ و مقایسه با نتایج آزمایشگاهی Bowman و Masutani [۱۰] که با نمادها نشان داده شده است.

نمودار نوسانات سرعت متوسط در سرتاسر جریان در جهت جریان و عمود بر آن به ترتیب در شکل‌های ۸ و ۹ نشان داده شده است. نمودار ۸ نیز با نتایج آزمایشگاهی همخوانی و مطابقت دارد؛ اما در شکل ۹ نوسانات سرعت متوسط با نتایج روش عددی دیگری مقایسه شده است [۱۱] که به علت دو بعدی بودن جریان، از نتایج آزمایشگاهی انحراف دارند (نتیجه آزمایشگاهی در شکل آورده نشده است). نوسانات سرعت در نتایج تجربی، حاصل اندرکنش در سه بعد است اما دو بعدی بودن شبیه‌سازی حاضر باعث این اختلاف می‌شود. نکته مهم

به منظور مطالعه ساختار لایه تحت اثر اغتشاشات با دامنه بزرگتر، رشد لایه به ازای $R_e = 0.05 \lambda^2$ و $\lambda = 1.5$ در شکل ۶ ترسیم شده است. ساختار لایه با حالات قبلی متفاوت است. در این شکل محدوده خطی وجود ندارد و اغتشاش فیزیکی ایجاد شده از هر گونه اغتشاشات تصادفی دیگر جلوگیری می‌کند و لایه، سریعاً با نزدیک شدن به فرکانس تحریک عکس العمل نشان می‌دهد. دامنه بزرگتر و بالاتر، جفت شدن بیشتر را به تأخیر می‌اندازد. همچنین ملاحظه می‌شود که با افزایش دامنه تحریک، حتی در نسبت‌های سرعت‌های پایین‌تر و زمان کمتر نسبت به حالت قبلی، ناپایداری با شدت و سرعت بیشتری آشکار می‌شود. همچنین به علت آشکار شدن سریع‌تر ناپایداری، طول محاسباتی کمتری نیز مورد استفاده قرار گرفته است. نتیجه بسیار مهمی که از این دو شکل به دست می‌آید آن است که در حالت تحریک اجباری بر خلاف حالت غیراجباری، رشد لایه‌ها و ناپایداری به هیچ وجه خطی نیست و طبیعتی کاملاً غیرخطی دارد.

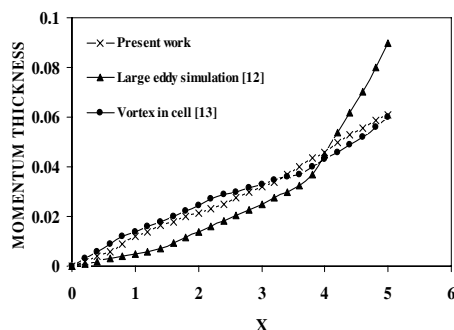


شکل ۶ بردارهای سرعت و موقعیت لحظه‌ای المان‌های گردابهای برای لایه‌برشی با تحریک اجباری برای $R_e = 0.05 \lambda^2$ ، $\lambda = 1/5$ ، نسبت سرعت $2 = R_f = 0.05 \lambda^2$ و تعداد ۵ لایه با طول دامنه محاسباتی ۵ در زمانهای مختلف



شکل ۹ پروفیلهای سرعت نوسانی در جهت عمود بر جریان در مقطع $X=4/0$ و مقایسه آن با سایر روش‌های عددی دیگر [۱۱].

شکل ۱۰ ضخامت مومتم متوسط لایه برشی، θ را نشان می‌دهد. نتایج حاصل از روش المان گردابه‌ای با نتایج بدست آمده از دو روش عددی دیگر در یک مقطع خاص مقایسه شده است.



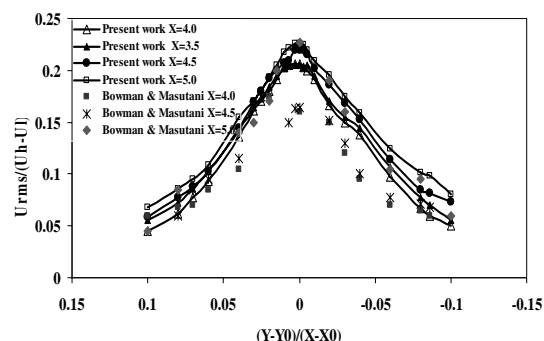
شکل ۱۰ ضخامت مومتم متوسط برای لایه برشی مکانی. نتایج LES از [۱۲] و نتایج VIC از [۱۳] انتخاب شده است.

در این شکل ضخامت مومتم متوسط لایه بدست آمده از روش‌های شبیه‌سازی گردابه‌ای بزرگ^۱ و VIC^۲ نشان داده شده است. نتیجه بدست آمده از تحقیق حاضر تقریباً با نتیجه روش VIC یکسان می‌باشد.

1. Large Eddy Simulation
2. Vortex In Cell

دیگر در اینجا آن است که میزان نوسانات در این حالت بیشتر از حالت آزمایشگاهی پیش‌بینی می‌شود؛ زیرا پخش انرژی به جای سه بعد در دو بعد انجام می‌شود. همچنین بیشترین نوسانات بر روی خط مرکزی جریان اتفاق می‌افتد و هرچه به سمت بالا و پایین جریان برویم، به علت کمتر شدن اندرکنش بین لایه‌ها از میزان نوسانات نیز کاسته می‌شود. از مقایسه نتایج بدست آمده برای پروفیلهای سرعت متوسط جریان (شکل ۷) و نوسانات سرعت متوسط (شکل ۹) با نتایج آزمایشگاهی، این نکته کاملاً مشهود است که به علت غالب بودن سرعت در جهت جریان نسبت به جهت عمود بر جریان، تأثیر بعد سوم بر آن کمتر است؛ لذا نتایج بدست آمده با نتایج آزمایشگاهی تقریباً یکسان است.

لازم است تأکید شود که نوسانات سرعت، نتیجه نا یکنواختی و بی ثباتی جریان است. این نا یکنواختی و بی ثباتی از ناپایداری جریان ناشی می‌شود و ارتباطی با شرایط مرزی که دائم و پایدار هستند، ندارد. این ناپایداری‌ها و نا یکنواختی، به افزایش برهم‌کنش دو جریان از طریق شارهای نوسانی منجر می‌شود.



شکل ۸ پروفیلهای سرعت نوسانی در جهت جریان در مقاطع $X=۳/۵$ ، $X=۴/۰$ ، $X=۴/۵$ و $X=۵/۰$. و مقایسه با نتایج آزمایشگاهی Bowman و Masutani [۱۰] که با نمادها نشان داده شده است.

۵- نتیجه‌گیری

در این تحقیق جریان لایه‌برشی با اعمال تحریک، به روش المان گردابهای حل شده و نتایج زیر به دست آمده است:

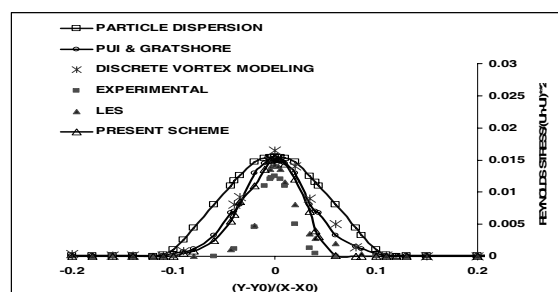
- فرایندهای دینامیکی اصلی که موجب گسترش و رشد لایه‌برشی می‌شوند، سوار شدن لایه‌های وریسیتی اولیه بر روی یکدیگر و غلتیدن و وارد شدن این لایه‌ها به داخل ساختارهای گردابهای مقیاس بزرگ بعد از یک تأخیر اولیه می‌شود که علت آن تقویت اغتشاشات کوچک موجود در لایه است و در ادامه با تشکیل گردابه‌ها و جفت شدن این گردابه در پایین دست ادامه می‌یابد. بیشترین فرکانس تبدیل و دفع گردابه‌ها در فرکانس نزدیک به فرکانس بیشترین مد ناپایداری است. فرایند جفت شدن گردابه‌ها به صورت سوار شدن دو گردابه همسایه و به وجود آمدن یک جفت گردابه و ایجاد شدن یک ناپایداری هارمونیک فرعی تعریف می‌شود. در بیشتر حالتها جفت شدن بین دو گردابه رخ می‌دهد و عموماً فرایند جفت شدن بین دو جفت گردابه در زمانهای مختلف کمتر اتفاق می‌افتد. فرایند جفت شدن جفت گردابه‌ها در پایین دست تکرار می‌شود و گردابه‌ای بزرگ حاصل از دو جفت گردابه شکل می‌گیرد. فرایندهای سوار شدن لایه‌ها بر روی یکدیگر و همچنین تشکیل جفت گردابه‌ها، موجب رشد ضخامت لایه‌برشی در پایین دست می‌شود.

- تحریک لایه‌برشی با دامنه‌های کوچک باعث می‌شود که بدون مشاهده رشد اولیه در ناحیه خطی، گردابه‌ها در فرکانس تحریک اجباری در پایین دست صفحه جدا کننده تبدیل شوند. این مسئله نشانگر این واقعیت است که لایه به شکل جریان ناپایدار خطی بوده که به اغتشاشات بسیار کوچک در یک محدوده فرکانسی وابسته است. با این حال اگر تابع تحریک اجباری نزدیک به فرکانس ناپایدارترین مد باشد، تابع تحریک فرایند جفت شدن را به تأخیر می‌اندازد و مانع رشد پایین دست

روش LES نیز تا مقطع $x=4$ مقدار کمتری از این دو روش را بدست می‌دهد، ولی از این طول به بعد رشد نمودار آن سریعتر شده و مقدار ضخامت ممتوسم متوسط لایه بیشتر از دو روش دیگر می‌باشد.

رشد ضخامت لایه ممتوسم در لایه‌برشی بعلت درهم‌غلتیدن لایه‌های وریسیتی در یکدیگر و فرآیند جفت شدن گردابه‌ها می‌باشد که بواسطه فرکانسهای غالب جریان، نحوه شکل‌گیری و جفت شدن گردابه‌ها نیز متفاوت خواهد بود؛ لذا رشد ضخامت ممتوسم متغیر می‌باشد. هرچه دامنه و فرکانس تحریک افزایش یابد چون نرخ جفت شدن گردابه‌ها نیز افزایش می‌یابد به تبع آن ضخامت ممتوسم نیز بیشتر می‌شود.

در شکل (۱۱)، نمودار متوسط زمانی تنش برشی رینولذز رسم شده است. نتیجه حاصله با چهار روش عددی و همچنین با نتایج آزمایشگاهی مقایسه شده‌اند. با توجه به نمودارها می‌توان مشاهده کرد که نتایج حاصله از دو روش حاضر و LES به نتایج آزمایشگاهی نزدیک‌تر بوده و جوابهای دقیق تری نسبت به سایر روشها بدست می‌دهند. همان‌طور که مشاهده می‌شود میزان تنش برشی رینولذز در هنگام نزدیک شدن به دو جریان بالا و پایین به سرعت به صفر نزدیک می‌شود و بیشترین مقدار در خط مرکزی اتفاق می‌افتد.



شکل ۱۱ نمودار متوسط زمانی تنش برشی رینولذز در مقطع $x=5/0$ و مقایسه آن با نتایج حاصل از چند روش مختلف. نتایج عددی LES از [۱۲] و اندازه‌گیری‌های آزمایشگاهی از [۱۰]، و سایر نتایج عددی از [۱۴].

فرکانس اصلی تحریک	f_f	لایه می‌شود؛ همچنین در این حالت فرکانس‌های مختلفی در ناپایدار شدن لایه دخیل هستند که مانع رشد خطی آن می‌شود و مهمترین آنها فرکانس اجباری تحریک است.
فرکانس هارمونیک فرعی	f_s	۳- با افزایش نسبت سرعت، میزان نیروی برشی بین لایه‌ها افزایش می‌یابد و لایه‌ها ناپایدارتر می‌شوند، لذا جریان زودتر به هم می‌ریزد و جریان آشفته می‌شود.
دامنه فرکانس اصلی تحریک	A_f	۴- با افزایش دامنه تحریک، حتی در نسبتها سرعت پایین‌تر و زمان کمتر، ناپایداری باشد و سرعت بیشتری آشکار می‌شود. همچنین به علت آشکار شدن سریعتر ناپایداری، طول محاسباتی کمتری نیز می‌تواند مورد استفاده قرار گیرد.
دامنه فرکانس هارمونیک فرعی	A_s	
دامنه اصلی	ϵ_f	۵- وجود فرکانس اجباری و تحمیل آن به لایه برشی به ویژه اگر به فرکانس طبیعی دفع گردابه‌ها نزدیک باشد، از رشد بی‌سازمان لایه جلوگیری کرده و رشد خطی و تصادفی ^۱ اختشاشات در لایه برشی کمتر دیده می‌شود؛ در عوض تشکیل بزرگ ساختارهای آشفته با نظم بیشتری انجام می‌شود.
دامنه هارمونیک فرعی	ϵ_s	
طول موج بیشترین مدد ناپایداری	λ^*	
جا به جایی مرکز المان	Δy	
ضخامت مو متهم	θ	

۷- مراجع

- [1] Batchelor, G. K., An Introduction to Fluid Dynamics, Cambridge university press, 2002.
- [2] Chorin A.J., “Numerical study of slightly viscous flow”, Journal of fluid mechanics, Vol 57, PP 785-796, 1973.
- [3] Chorin, A. J., “Vortex sheet approximation of boundary layer”, Journal of Computational Physics, vol. 27, pp. 428-442, 1978.
- [4] Ghoniem, A .F. and Heidarinejad, Gh., “Numerical simulation of a reacting shear layer using the transport element method”, AIAA Journal, San Diego, California, 1987.
- [5] Ghoniem, A .F. and Ng, K. K., “Numerical study of a dynamics of a shear layer”, Journal of Computational Physics, vol. 30, pp. 706-721, 1988.

۶- فهرست علائم

چرخش	ω
بردار سرعت	u
بردار عمود بر سطح	n
زمان	t
سیرکولاسیون	Γ
عدد رینولدز	Re
ارتفاع کانال	H
سرعت متوسط	U_M
شعاع هسته المان	δ
نسبت سرعت	R

1. Random

- [11] Ows, X. Yang, N. H. Thomas, L. J. Guo., "Particle dispersion in organized vortex structures within turbulent free shear". Chemical Engineering Science 55 (2000) 1305-1324.
- [12] W.B. Yang, H.Q. Zhang, C.K. Chan, W.Y. Lin, "Large eddy simulation of mixing layer". Journal of Computational and Applied Mathematics 163 (2004) 311-318.
- [13] Reinaud, J. L. Joly P. C., "Numerical Simulation of a Variable-Density Mixing-Layer" ESAIM: Proceedings, Vol. 7, 1999, 359-368 Third International Workshop on Vortex method.
- [14] Soteriou. M.C., "Numerical study of turbulent combustion in a shear layer", PHD Thesis in MIT, 1991.
- [6] Ghoniem, A .F. and Gangon, Y., "Vortex simulation of laminar recirculating flow", Journal of Computational Physics, vol. 68, p. 346, 1987.
- [7] Frank M. White, "Viscous fluid flow", McGraw-Hill, 1974.
- [8] Heidarnejad G., "Vortex simulation of the reacting shear layer", PhD Thesis, Massachusetts Institute of Technology (MIT), February 1989.
- [9] Ghoniem, A.F. and Oppenhiem, A.K. "Numerical solution of the problem of flame propagation by the radom element method, " AIAA Journal , Vol. 22,No. 10 ,1984 , PP. 1429-1435.
- [10] Masutani, S.M., Bowman, C.T., "The structure of a chemically reamically reacting Plane mixing layer," J. Fluid Math., Vol. 127, 1986 , PP. 93-126.